2025年度せいめいユーザーズミーティング 2025/09/04 11:20 (12+3分)

データ科学による 若い太陽型星の動的マッピング

幾田 佳(一橋大学)

行方 宏介(京都大学/NASA), 前原 裕之 (国立天文台), 野津 湧太(コロラド大学), 李 尚姫, 野上 大作 (京都大学), 本田 敏志(兵庫県立大学), 柴田 一成(同志社大学) 梶木屋 裕斗, 佐藤 文衛(東京科学大学), EK Dra collaboration, GAOES-RV team

Namekata et al. 2024a&b; Ikuta et al., submitted to ApJ

太陽/恒星フレア

cf. 野上さん, 行方さん, 前原さん, 梶木屋さん, 市原さん講演

Credit: NAOJ

太陽/恒星黒点の磁場エネルギーに駆動される表面の爆発現象

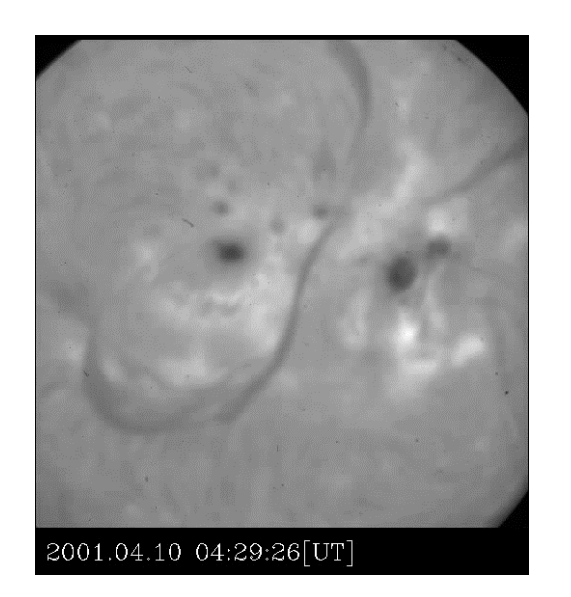
太陽/恒星フレアにはプラズマ噴出(プロミネンス噴出+コロナ質量噴出)が伴う

若い恒星/低温度星(K,M型星)は太陽より高い磁気活動性を示す

太陽フレア: 可視(Hα)-X線

継続時間: < 数十分

エネルギー: 10^{29} - 10^{32} erg



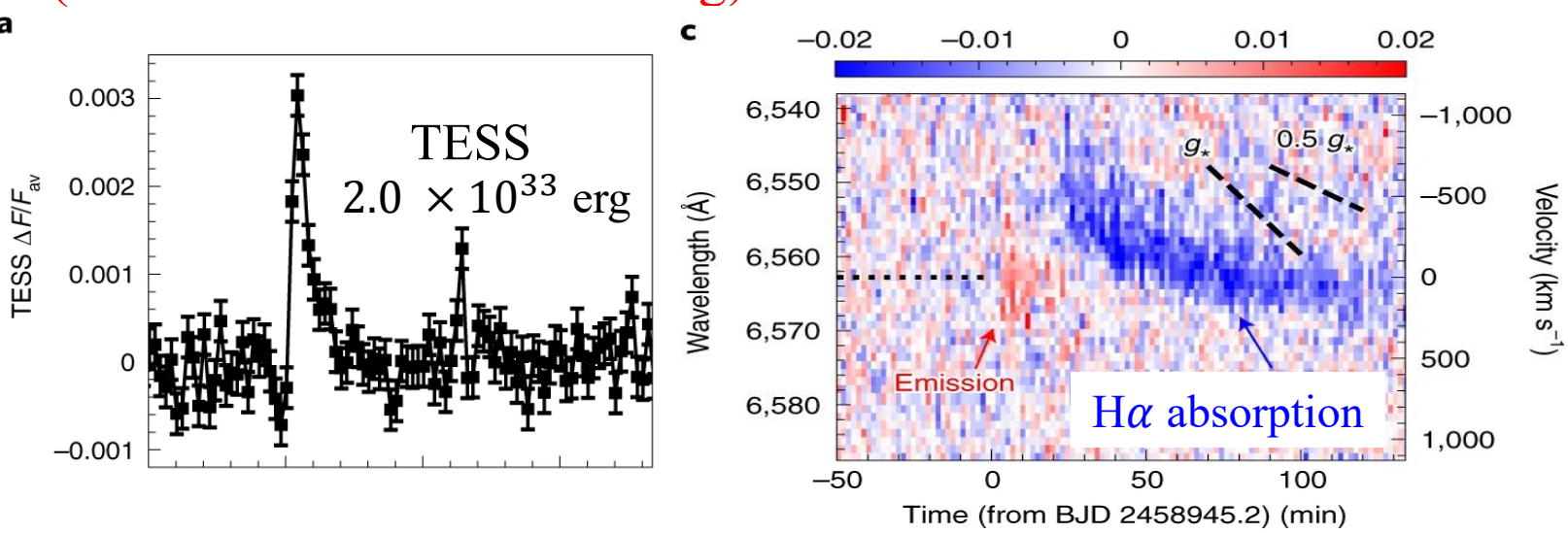
太陽フレア (Hα image) (京大飛騨天文台/フレア望遠鏡FMT)

恒星フレア: 可視(Hα)-X線

継続時間:数十分-数時間

エネルギー: 10^{31} - 10^{35} erg

 $(ス - パーフレア > 10^{33} \text{ erg})$



TESS+せいめい望遠鏡/KOOLS-IFUによるスーパーフレアとプロミネンス噴出 (Namekata et al. 2022)

太陽/恒星黒点

太陽恒星表面の磁力線の切り口で磁気活動の指標

太陽/恒星フレアを引き起こす

若い恒星/低温度星(K, M型星)では太陽より大きな黒点を持つ

太陽黒点: 可視-X線; 面積<0.1%;

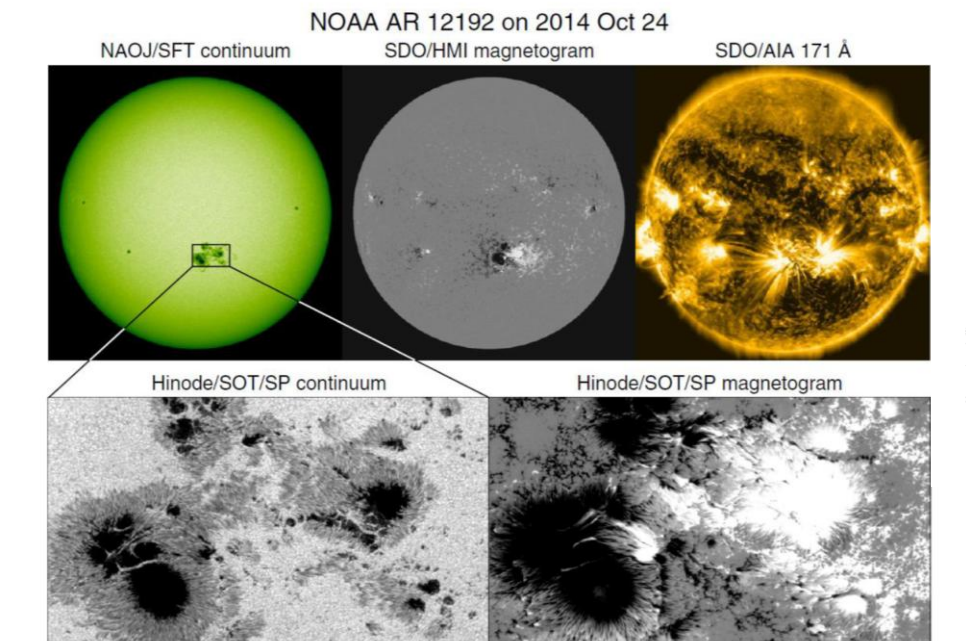
寿命 <数十日; 赤道から中緯度;

恒星黒点: 可視(+ $H\alpha$ 線, X線); 面積<20%;

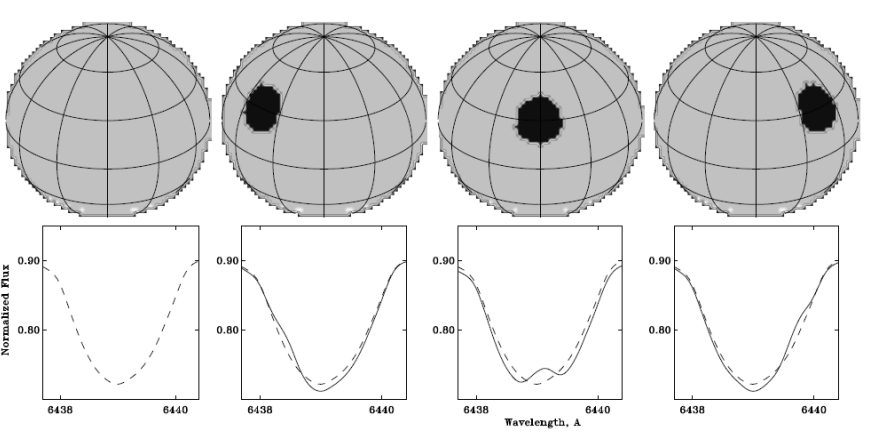
寿命 < 数年; 赤道-極域;

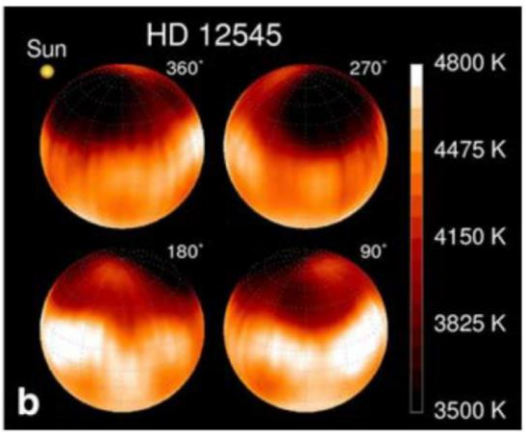
Doppler Imaging (Berdyugina 2005) & K型巨星 (Strassmeier 2009)

Credit: NAOJ



Toriumi & Wang 2019





地上から高分散分光+地上測光 (1990年代-)

- →明るく自転が速い太陽型星/巨星(<50天体)
- → 宇宙望遠鏡による測光 (Kepler/TESS; 2000-20s)

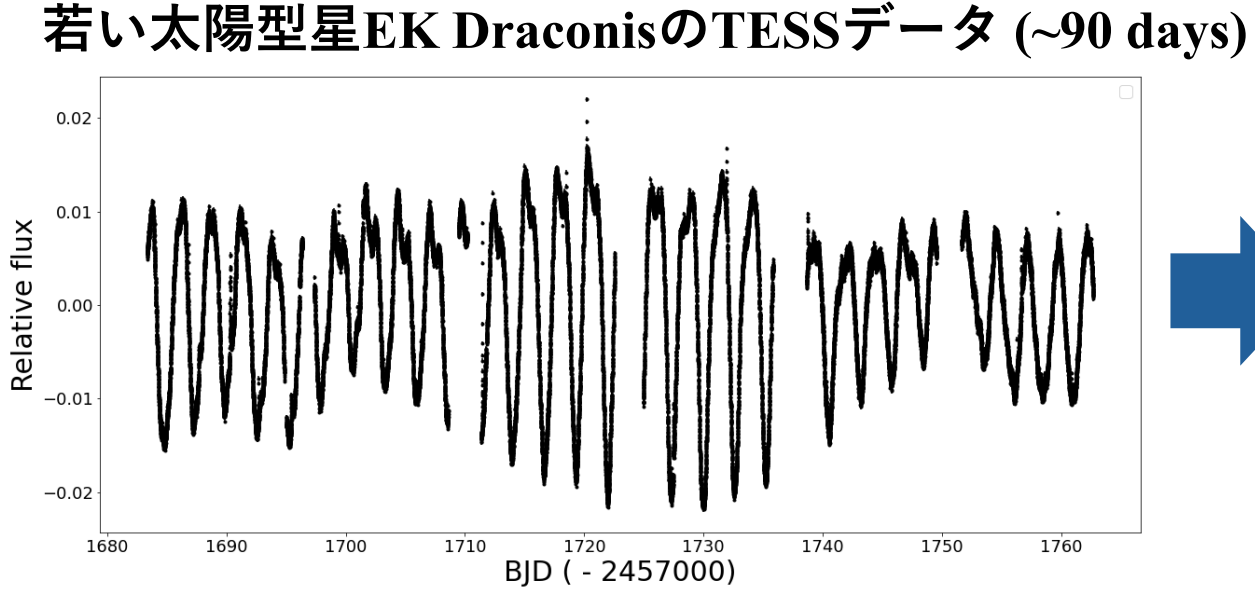
測光観測による恒星黒点マッピング

Kepler(2009-2018)/TESS(2018-)による高精度かつ長期(~1カ月)の測光観測

→ 星表面にある黒点の自転(+差動回転)による明るさの変化(Notsu et al. 2013)

Credit: NASA

Credit: NAOJ





黒点マッピング (ベイズ最適化 逆問題)

大きさの時間変化







フォーワードモデル(大きさが変化する黒点による光度曲線モデル; Ikuta et al. 2020) による微分可能なベイズ最適化@ JAX/NumPyro (GitHub: KaiIkuta)

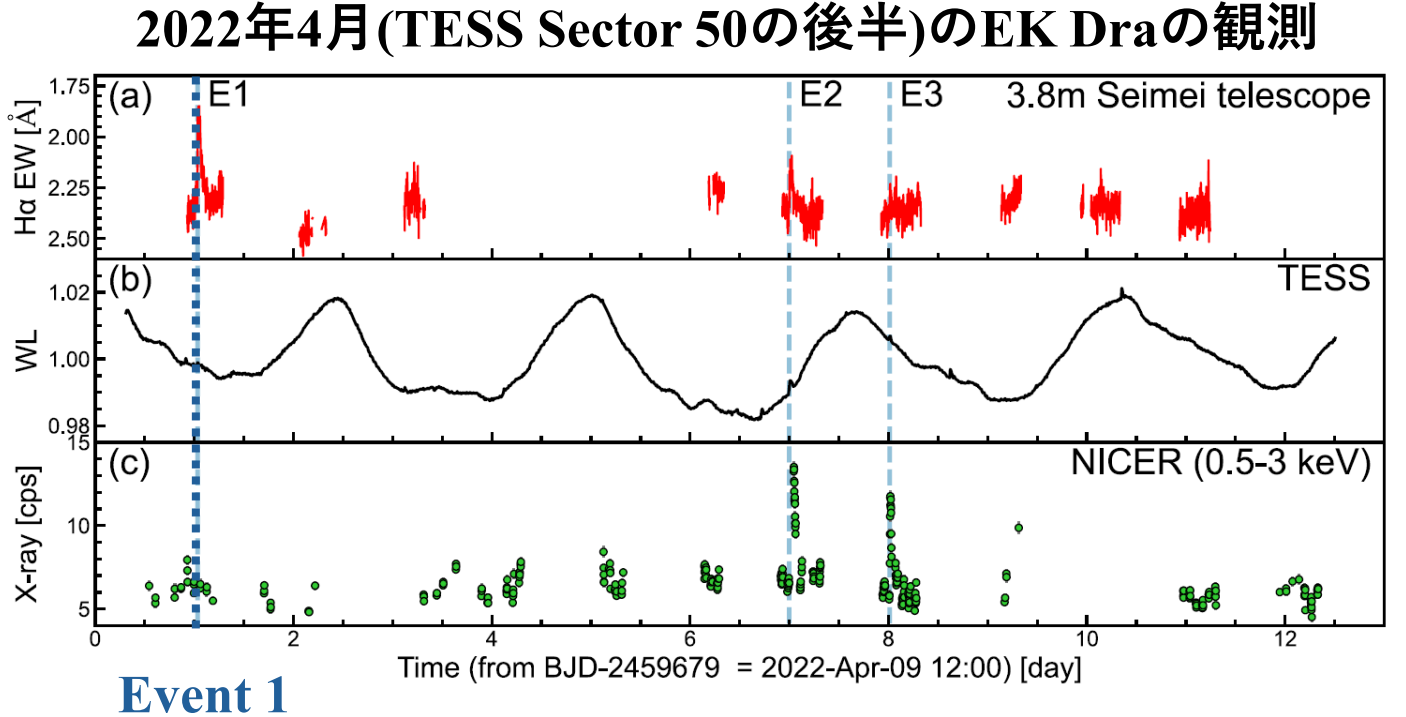
- M型星での黒点とフレア(Ikuta et al. 2023; Kajikiya et al. 2025b, Ichihara et al. 2025)
- 太陽型星での黒点とフレア/プラズマ噴出+Doppler Imagingとの比較(Ikuta et al., submitted)

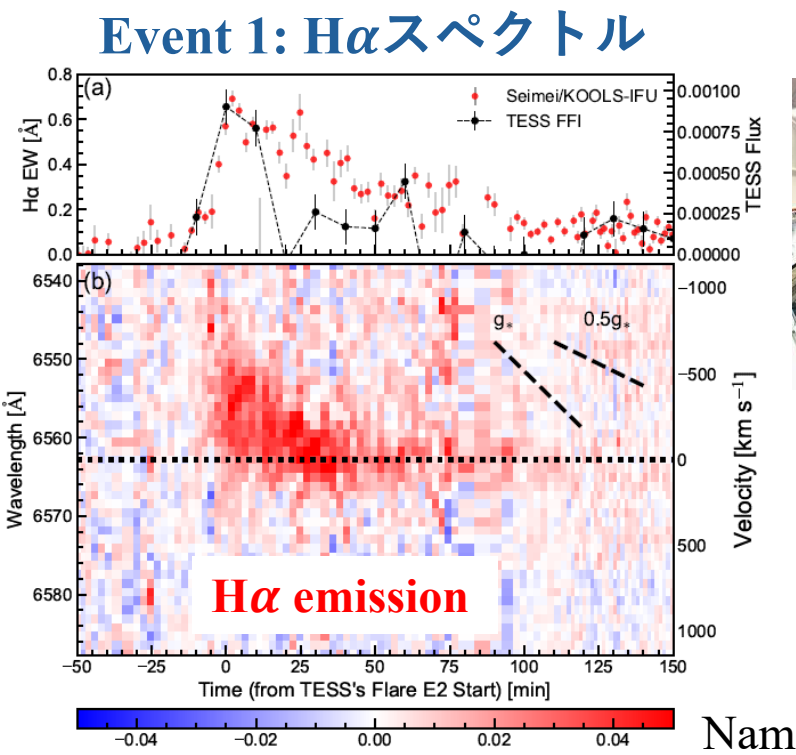
若い太陽型星スーパーフレアの多波長観測

せいめい望遠鏡KOOLS-IFU(Hα線), TESS, NICERのX線によるEK Draの同時多波長観測

→ プロミネンス噴出を伴うスーパーフレアを2例検出(Namekata et al. 2024a)

プロミネンスはHα emissionとして観測→星の周縁部で起きた?





EK Dra: T_{eff} =5700 K; P_{rot} = 2.7 d; Age<100Myr



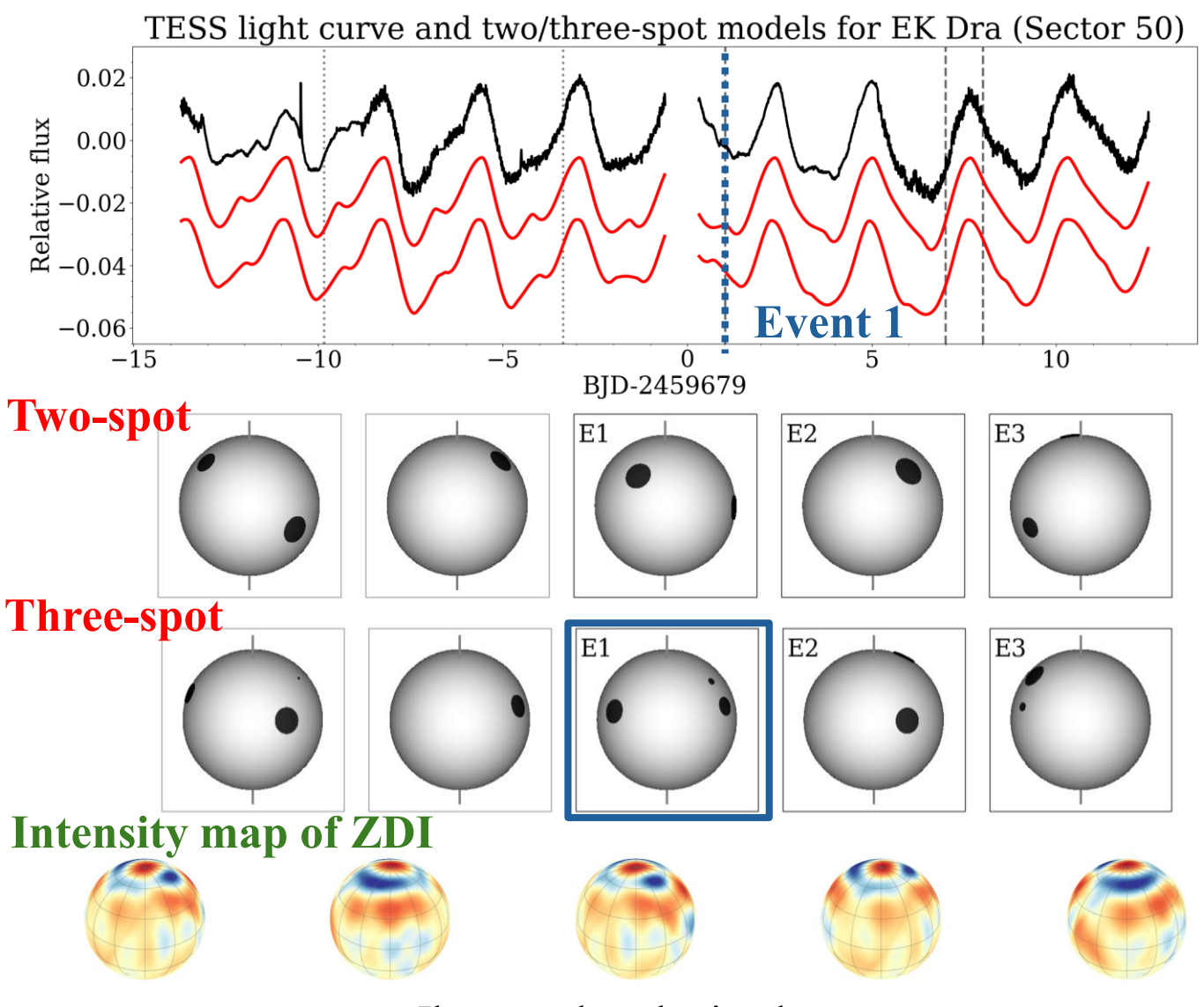
Credit: KyotoU

Namekata et al. 2024a

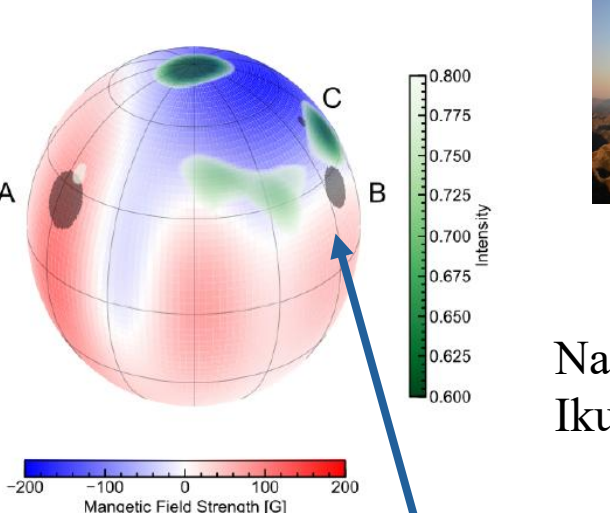
[目的](1)スーパーフレア/プロミネンス噴出(Event 1)が起きた時の黒点配置は? (2)黒点と $H\alpha$ 線やX線の時間変化は対応しているのか?

黒点マッピングとプロミネンス噴出

EK DraのTESSデータ(Sector 50)を黒点マッピング→ 大きさが変化する黒点2/3つでおよそ説明



Event 1が起きた時刻の 黒点と動径方向磁場マップ



Credit: TBL

Namekata, Ikuta et al., 2024b

(1) Event 1が起きた時刻に,恒星周縁の Polarity inversion上にある黒点が存在

黒点の見え方は極域黒点を除いて大体同じ (正則化の不定性)

恒星黒点による多波長変動

- (2)TESS, B-band, Hα線に明確な周期性(~2.7日) を検出, X線には明確な自転周期性はない.
- → 変動を外挿(多次元ガウス過程回帰)

B-band(光球由来): TESSと対応

Ηα線(彩層由来):

太陽黒点に放射輝度がほぼ対応 (e.g., Criscuoli et al. 2023)

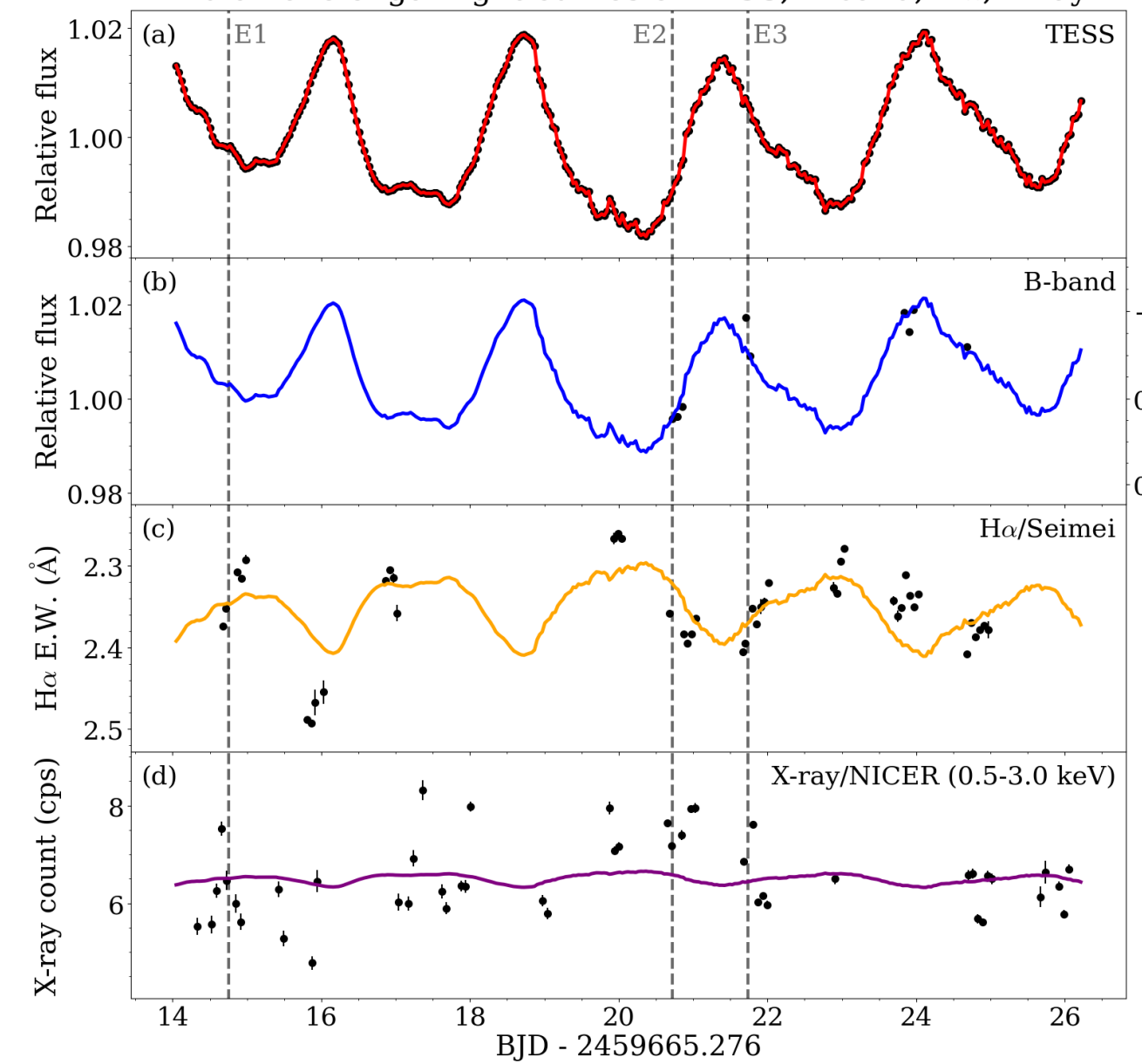
- →黒点の磁場形状(放射強度が異なる)を反映
- →太陽黒点/白斑による解釈
- → せいめい望遠鏡MIDSSARでの検証

X線(恒星コロナ由来):

複数黒点によるコロナの空間構造 (e.g., Takasao et al. 2020; Wargelin et al. 2024)

11.5cm望遠鏡@岡山(前原さん所有)

Multiwavelength light curves of TESS, B-band, $H\alpha$, X-ray



Ikuta et al., submitted

まとめと将来課題

多波長観測+Doppler Imagingの観測期間のTESS(Sector 50)の観測データを黒点マッピング

- 1)プロミネンス噴出が起きた時刻に, 周縁に黒点が存在
- 2)TESSとHα線に自転周期を検出, X線には周期性がない
 - → Hα線は黒点の指標, X線は複数の黒点のコロナの空間構造を反映



EK Dra黒点観測をTESSに合わせて実施

→ TESS(+地上)などによる多色測光+Doppler Imagingの同時最適化コードの作成中

[将来課題]

GAOES-RV+MIDSSARによる太陽型星の黒点の磁場形状と生成消滅過程の探査

- →太陽型星スーパーフレアの「発現」条件の解明
- →系外惑星視線速度(Extreme Precision RV)や大気観測への波及(2030s: TMT/E-ELT)

可視高分散分光器(R~120000)を開発する研究課題の探査